

УДК 621.3.01

ОСОБЕННОСТИ РАСЧЕТА ПЕРЕХОДНЫХ ПРОЦЕССОВ В ЛИНЕЙНЫХ ЭЛЕКТРИЧЕСКИХ ЦЕПЯХ БЕЗ СОСТАВЛЕНИЯ ДИФФЕРЕНЦИАЛЬНЫХ УРАВНЕНИЙ

Мошкина А.П., Кравцов М.Л.

Научный руководитель – к.т.н., доцент Горошко В.И.

При расчете переходных процессов самой трудоемкой ручной процедурой является составление системы дифференциальных уравнений в нормальной форме (форме Коши). Этой процедуры можно избежать, если применить один из неявных численных методов непосредственно к уравнениям динамики реактивных элементов [1]. Для индуктивности это уравнение имеет вид:

$$u_L = \frac{L di_L}{dt} . \tag{1}$$

Применяя неявный метод Эйлера к уравнению (1), получим

$$i_{n+1} = i_n + \frac{h}{L} u_{n+1} . \tag{2}$$

Уравнению (2) соответствует цепь на рис.1 или эквивалентная цепь на рис. 2.

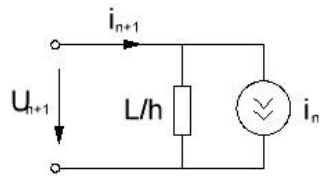


Рисунок 1

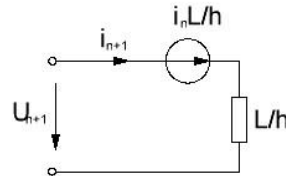


Рисунок 2

Для емкости С уравнение динамики имеет вид:

$$i_C = \frac{C du_C}{dt} . \tag{3}$$

Неявный метод Эйлера приводит к уравнению

$$u_{n+1} = u_n + \frac{h}{C} i_{n+1} \tag{4}$$

Уравнению (4) соответствует цепь на рис.3, которую можно преобразовать к схеме на рис. 4.

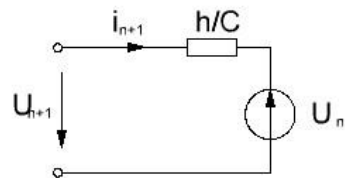


Рисунок 3

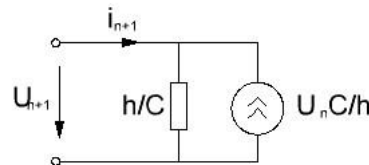


Рисунок 4

В полученных четырех схемах имеются источники напряжения и тока, которые зависят от напряжения или тока на предыдущем шаге. Это позволяет начать расчет при $n = 0$, т.е. зная независимые начальные условия $U_C(0)$, $i_L(0)$.

Если все индуктивности и емкости заменить их активно-резистивными моделями (рис. 1-рис. 4) получим активно-резистивную цепь. Эту цепь можно рассчитать, используя любой из методов расчета сложных цепей (законы Кирхгофа, метод контурных токов, узловые уравнения и т.д.). Выбрав временной шаг $h = \text{const}$, на каждой итерации будем получать обновленные значения источников, а эквивалентные сопротивления L/h и h/C будут оставаться неизменными.

Рассмотрим применение этого метода для цепи на рис. 5

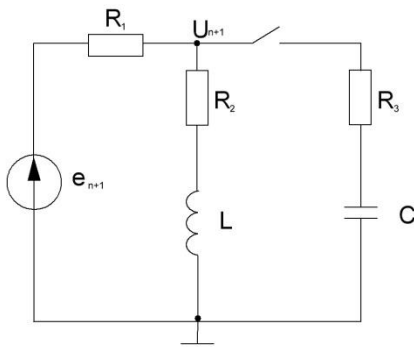


Рисунок 5

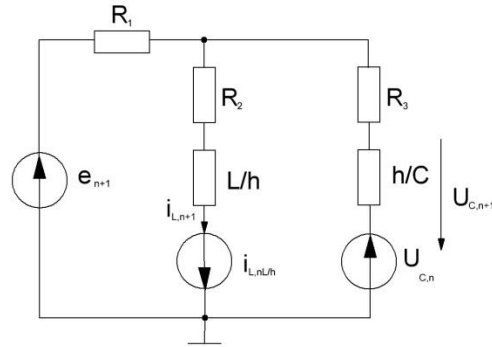


Рисунок 6

Для цепи на рис.5, удобнее брать последовательные схемы замещения. После проведения замены индуктивности и емкости их активно-резистивными моделями получим цепь на рис.6.

Расчет ведем методом узловых напряжений.

$$\left\{ \begin{aligned} u_{n+1} \left(\frac{1}{R_1} + \frac{1}{R_2 + \frac{L}{h}} + \frac{1}{R_3 + \frac{h}{C}} \right) &= \frac{e_{n+1}}{R_1} - \frac{\frac{L}{h} i_{L,n}}{R_2 + \frac{L}{h}} + \frac{u_{C,n}}{R_3 + \frac{h}{C}}; \\ i_{L,n+1} &= \frac{u_{n+1} + \frac{L}{h} i_{L,n}}{R_2 + \frac{L}{h}}; \\ u_{C,n+1} &= \frac{(u_{n+1} - u_{C,n}) \frac{h}{C}}{R_3 + \frac{h}{C}} + u_{C,n}. \end{aligned} \right. \quad (5)$$

В данном случае уравнения системы (5) распадаются на три независимых уравнения, т.е. первое уравнение решается независимо и позволяет найти потенциал u_{n+1} для узла А. Подставляя это значение u_{n+1} во второе уравнение системы находим $i_{L,n+1}$, а подставляя затем u_{n+1} в третье уравнение системы получаем $u_{C,n+1}$.

Для элементов цепи и временного шага приняты следующие значения:

$R_1 = 20 \text{ Ом}; R_2 = 30 \text{ Ом}; R_3 = 50 \text{ Ом}; L = 0,5 \text{ Гн}; C = 5 * 10^{-7} \text{ Ф};$

$h = 0,05 * 10^{-4}$.

Исходная программа:

```
clear;
uc = 0;
u = 0;
t = 0;
iL = 1;
R1 = 20;
R2 = 30;
R3 = 5;
L = 0.05;
```

```

C = 5*10^-5;
E = 50;
h = 0.05*10^-4;
N = 3000;
for n = 1:N
uc=((u-uc)*(h/C))/(R3+(h/C))+uc;
u = ((E/R1)-(iL*L)/(h*((L/h)+R2)))+(uc/((h/C)+R3))/((1/R1)+(1/((L/h)+R2))+1/((h/C)+R3));
iL=(u+iL*(L/h))/((L/h)+R2);
ucn(n) = uc;
un(n) = u;
iLn(n) = iL;
t = t+h; tn(n) = t;
end
plot(tn,iLn), grid on;
plot(tn,ucn), grid on;
    
```

Полученные графики:

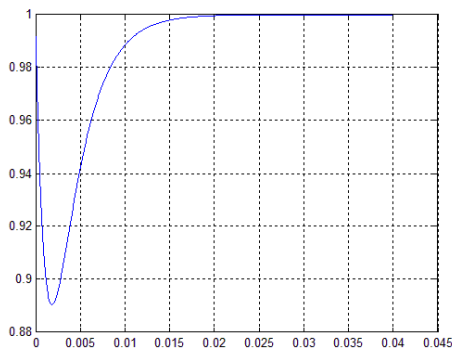


Рисунок 7 График зависимости $i_L(t)$

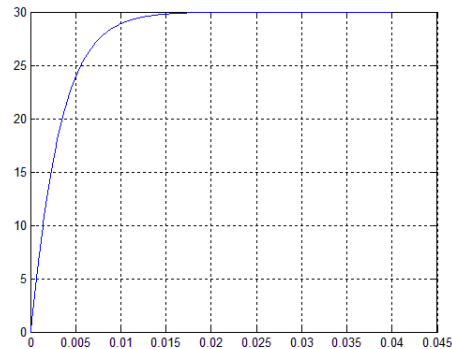


Рисунок 8 График зависимости $u_C(t)$

II. Изменим величину $R_3 = 5 \text{ Ом}$.
Получим графики на рис. 9 и рис. 10.

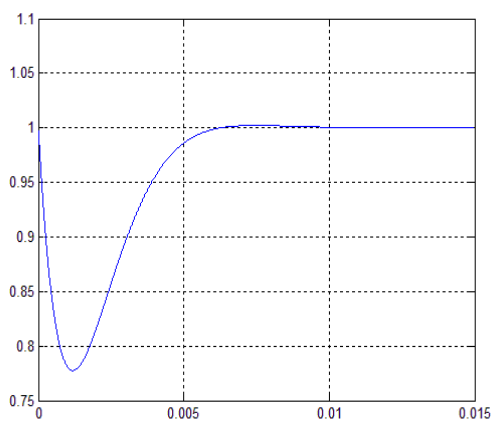


Рисунок 9 График зависимости $i_L(t)$

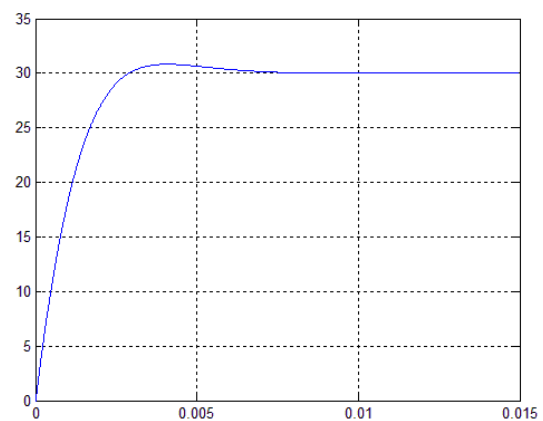


Рисунок 10 График зависимости $u_C(t)$

Изменения тока i_L и напряжения u_C для обоих значений сопротивления R_3 соответствуют ожидаемым значениям.

Выводы. В работе исследуется эффективность замещения реактивных элементов их дискретными активно-резистивными моделями. Схема при этом становится активно-резистивной и ее расчет сводится к решению системы алгебраических уравнений. Таким

образом, исключается необходимость составления и решения системы дифференциальных уравнений цепи.

Литература

1. Чуа Л. О., Лин Пен-Мин Машинный анализ электронных схем. М.: Энергия, 1980.